

УДК 534; 621.382

**А. Ю. Липинский, А. Н. Рудякова, В. В. Данилов**  
Донецкий Национальный университет, кафедра радиофизики  
ул. Университетская, 24, 83055 Донецк, Украина  
e-mail: krf@dongu.donetsk.ua

## **Исследование дисперсионных характеристик интегрального оптического волновода**

*Использование акустооптических приборов во многих областях науки и техники стало единственно возможным решением для реализации требуемых скоростей обработки информации и требует применения элементов планарной оптики, обеспечивающих ряд существенных преимуществ по сравнению с объемными аналогами. В статье выполнено математическое моделирование интегрального оптического волновода (ИОВ) с использованием метода характеристической матрицы. Определены дисперсионные характеристики термодиффузионного  $Ti:LiNbO_3$  ИОВ, с учетом частотной зависимости коэффициентов преломления материалов подложки и волноведущей области.*

**Ключевые слова:** интегральная оптика, метод характеристической матрицы, термодиффузионный оптический волновод.

### **Введение**

В настоящее время использование акустооптических приборов во многих областях науки и техники стало единственно возможным решением для реализации требуемых скоростей обработки информации [1].

Применение элементов планарной оптики обеспечивает ряд существенных преимуществ перед объемными аналогами в связи со спецификой распространения волноводной оптической и поверхностной акустической волн [2]:

— акустооптическое взаимодействие сконцентрировано в тонком приповерхностном слое, поэтому для работы устройства требуются мощности, на порядок меньшие, чем в объемных приборах;

— такие устройства могут быть выполнены в виде интегрально-оптической схемы на единой подложке, что обеспечивает оптимальные массогабаритные параметры и исключает проблему смещения элементов под воздействием механических и температурных полей.

© А. Ю. Липинский, А. Н. Рудякова, В. В. Данилов

Основным узлом интегральных акустооптических приборов является волноводная акустооптическая ячейка, определяющая предельные частотные и энергетические характеристики всего прибора. В ячейке происходит брэгговская дифракция светового пучка, распространяющегося в оптическом волноводе (ОВ) на поверхностной акустической волне (ПАВ).

Использование Y-среза ниобата лития ( $\text{LiNbO}_3$ ) в качестве материала подложки волновой акустооптической ячейки дает возможность формирования одномодовых оптических волноводов с потерями не хуже 1 дБ/см, обеспечивает эффективное и широкополосное возбуждения ПАВ с приемлемой величиной эффективности взаимодействия оптической и акустической волн. На поверхности этого кристалла формируются оптические волноводы высокого качества с потерями не более 0,5 дБ/см. Направлением распространения ПАВ выбирают ось  $z$  кристалла  $\text{LiNbO}_3$ . Полоса акустооптического взаимодействия находится в диапазоне 50–1300 МГц и зависит от длины оптической волны и параметров волновода. Оптические волноводы в кристалле ниобата лития обычно изготавливаются термодиффузией титана ( $\text{Ti:LiNbO}_3$ ). В этом случае они имеют профиль показателя преломления, близкий к гауссовскому, и для них легко достижим одномодовый режим ( $\text{TE}_0$ ) распространения световой волны [2].

До настоящего времени практическое измерение профиля моды является одним из основных методов получения характеристик волновода, поскольку математическое моделирование дисперсии ОВ на этапе проектирования, связанное с необходимостью теоретического анализа, является наукоемкой задачей, требующей привлечения численных методов расчета.

Целью настоящей работы является математическое моделирование дисперсионных характеристик интегрального оптического волновода (ИОВ) с использованием метода характеристической матрицы для заданного профиля показателя преломления.

### Расчет показателя преломления в поперечном сечении $\text{Ti:LiNbO}_3$ оптического волновода

Термодиффузионный  $\text{Ti:LiNbO}_3$  оптический волновод (рис. 1) можно рассматривать как градиентную структуру с монотонно-изменяющимся профилем показателя преломления [3]:

$$n_i(l, x, y) = n_i^{(0)}(l) + dn_i(l, x, y), \quad (1)$$

где  $l$  — нормированная длина волны; индекс  $i$  в случае обыкновенной волны обозначается как  $o$ , либо  $e$  — в случае необыкновенной.

Первое слагаемое правой части (1) учитывает зависимость показателя преломления  $\text{LiNbO}_3$  от длины волны, второе — соответствует изменению  $n_i$  ниобата лития вследствие термодиффузии титана.

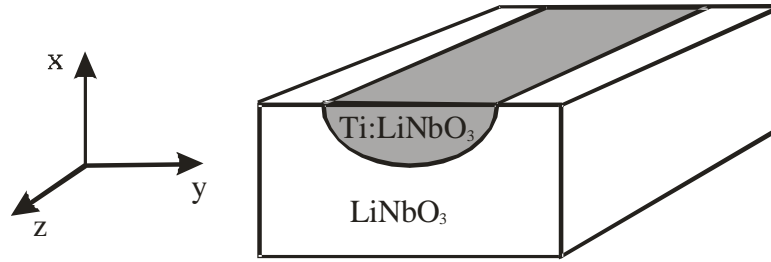


Рис. 1. Интегральный оптический волновод, сформированный термодиффузией  $Ti^{4+}$  в  $LiNbO_3$

Коэффициент преломления  $LiNbO_3$  хорошо приближается известной эмпирической формулой [4]:

$$n_o^{(0)}(l) = \sqrt{4,9048 - \frac{0,11768}{0,0475 - l^2} - 0,027169l^2}, \quad (2)$$

$$n_e^{(0)}(l) = \sqrt{4,582 - \frac{0,099169}{0,044432 - l^2} - 0,02195l^2}. \quad (3)$$

Изменение показателя преломления вследствие термодиффузии титана различно для обыкновенной и необыкновенной волн. Для необыкновенной волны зависимость показателя преломления от концентрации  $c(x, y)$  титана носит линейный характер, а для обыкновенной — степенной [3]:

$$dn_i(l, x, y) = d_i(l)h_i(x, y), \quad (4)$$

$$h_o(x, y) = [E * c(x, y)]^\gamma, \quad (5)$$

$$h_e(x, y) = F * c(x, y), \quad (6)$$

где  $F$ ,  $E$ ,  $\gamma$  — константы материала [5, 6],  $d_i(l)$  учитывает зависимость показателя преломления от длины волны [3]:

$$d_e(l) = \frac{0,839l^2}{l^2 - 0,0645}, \quad (7a)$$

$$d_o = \frac{0,67l^2}{l^2 - 0,13}. \quad (7b)$$

На основе модели диффузии, а также с учетом эффектов анизотропии, зави-

симось концентрации  $Ti^{4+}$  в оптическом волноводе может быть представлена следующим выражением [3]:

$$c(x, y) = c_0 f(x) g(y), \quad (8)$$

где

$$c_0 = \frac{\tau}{aD_B}, \quad a = \frac{G\sqrt{\pi}}{2\rho A}, \quad (9)$$

$$f(x) = \exp\left(-\frac{x^2}{D_B^2}\right), \quad (10)$$

$$g(y) = \frac{\operatorname{erf}\left(\frac{W}{2D_S}\left(1 + \frac{2y}{W}\right)\right) + \operatorname{erf}\left(\frac{W}{2D_S}\left(1 - \frac{2y}{W}\right)\right)}{2}, \quad (11)$$

( $W$  и  $\tau$  — ширина и толщина полоски титана до диффузии;  $D_B$  и  $D_S$  — объемная и поверхностная длины диффузии соответственно). Формула (9) для поверхностной концентрации титана  $c_0$  следует из сохранения массы, где  $G$  — молярная масса атома титана (47,9 г/моль),  $A$  — число Авогадро,  $\rho$  — объемная плотность титана (4,52 г / см<sup>3</sup>), при этом  $a = 1,57 \cdot 10^{-23}$  см<sup>3</sup>. Длины диффузии определяются из аналитического решения нестационарного уравнения диффузии [4]:

$$D_S = 2\sqrt{tD_S^0 \exp(-E_S^0 / kT)}, \quad (12)$$

$$D_B = 2\sqrt{tD_B^0 \exp(-E_B^0 / kT)}, \quad (13)$$

где  $t$  — время диффузии;  $T$  — температура диффузии во время изготовления;  $k$  — постоянная Больцмана;  $D_B^0$  и  $D_S^0$  — объемная и поверхностная константы диффузии;  $E_B^0$  и  $E_S^0$  — объемная и поверхностная энергии активации.

Результаты расчета показателя преломления обыкновенной и необыкновенной волн в поперечном сечении ИОВ для  $\lambda_0 = 0,633$  мкм,  $W = 3$  мкм,  $\phi = 16$  мкм, времени диффузии  $1,44 \cdot 10^4$  с, температуры диффузии 1250 К, представлены на рис. 2, 3 и 4, 5.

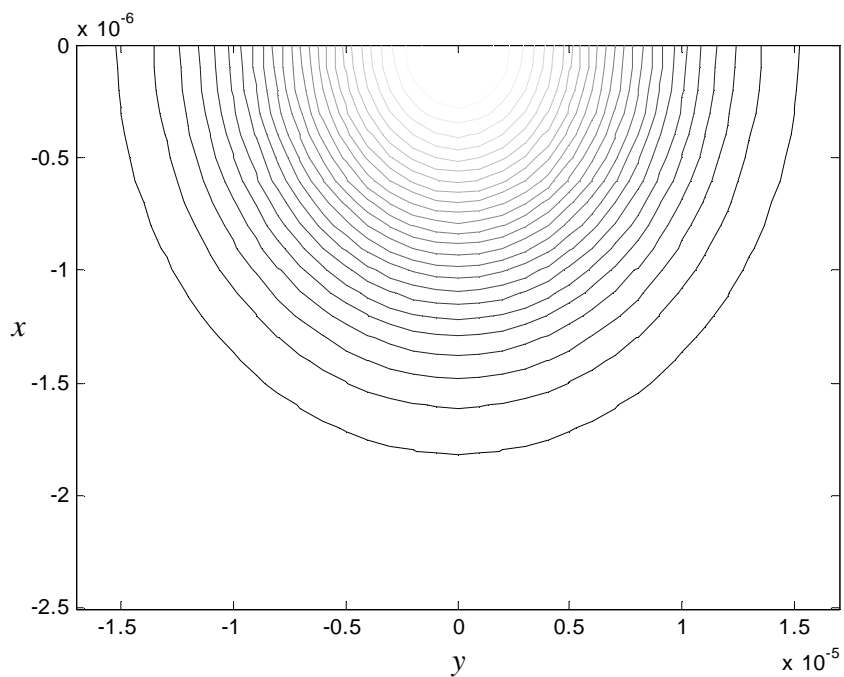


Рис. 2. График линий уровня показателя преломления для обыкновенной волны в поперечном сечении интегрального оптического волновода

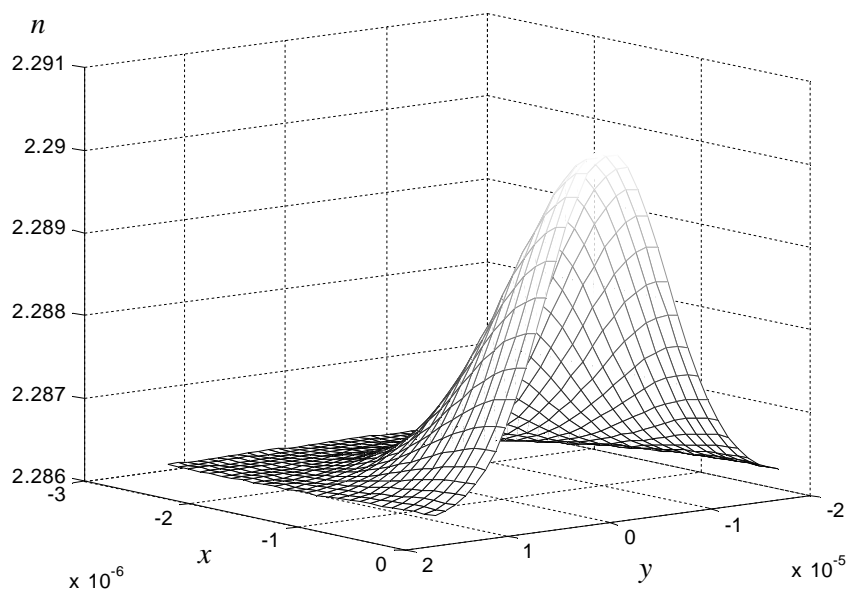


Рис. 3. Зависимость показателя преломления для обыкновенной волны в поперечном сечении интегрального оптического волновода

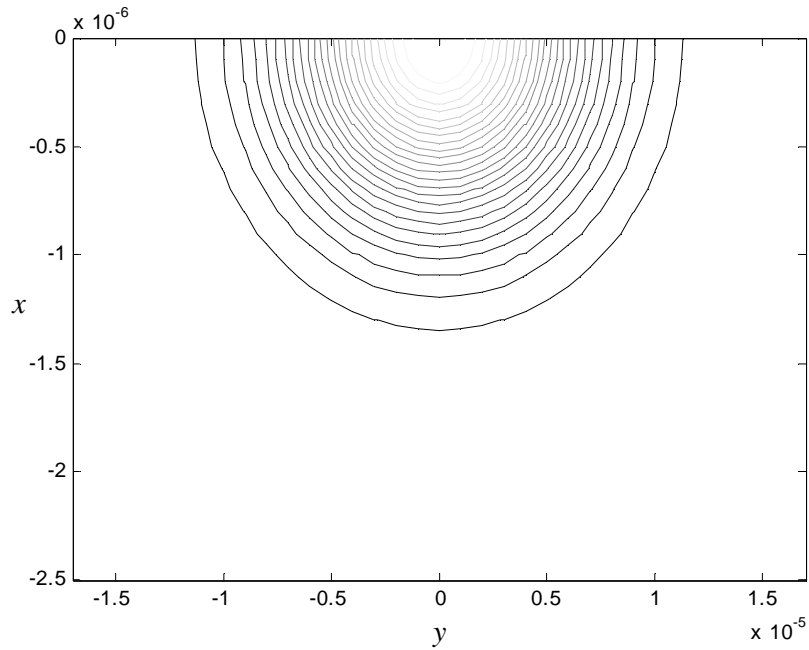


Рис. 4. График линий уровня показателя преломления для необыкновенной волны в поперечном сечении интегрального оптического волновода

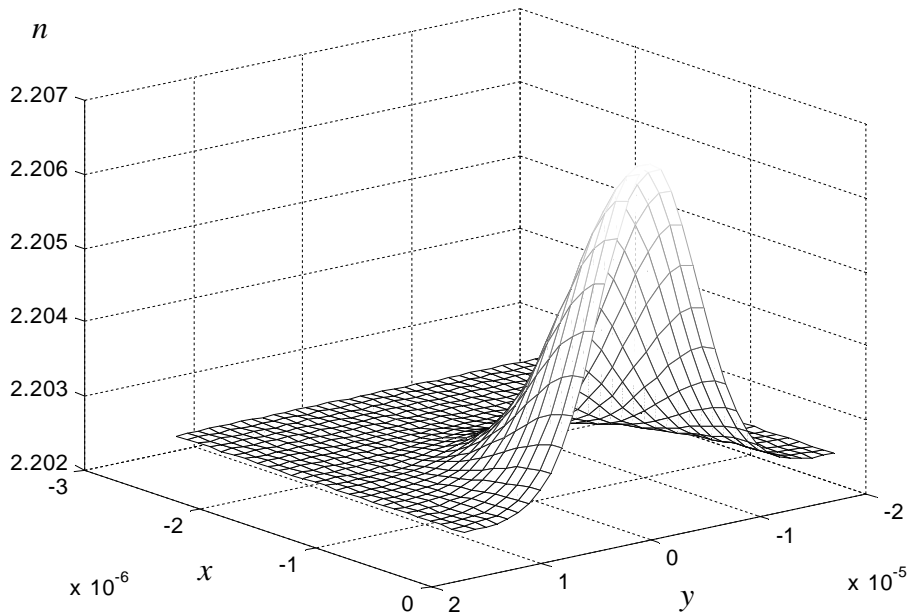


Рис. 5. Зависимость показателя преломления для необыкновенной волны в поперечном сечении интегрального оптического волновода

## Расчет дисперсионных характеристик

В качестве физической модели при анализе дисперсионных характеристик градиентного ИОВ использовался многослойный планарный волновод со ступенчатым профилем показателя преломления. Использование метода характеристической матрицы предполагает, что поле в каждой из плоскостей такого волновода выражается через произведение поля в соседней плоскости на характеристическую матрицу слоя между ними. В результате численного решения полученного таким образом дисперсионного уравнения ИОВ, определяются постоянные распространения волноводных мод.

На рис. 6 изображена структура однородного в направлении  $z$  многослойного ИОВ с числом слоев  $p + 2$ .

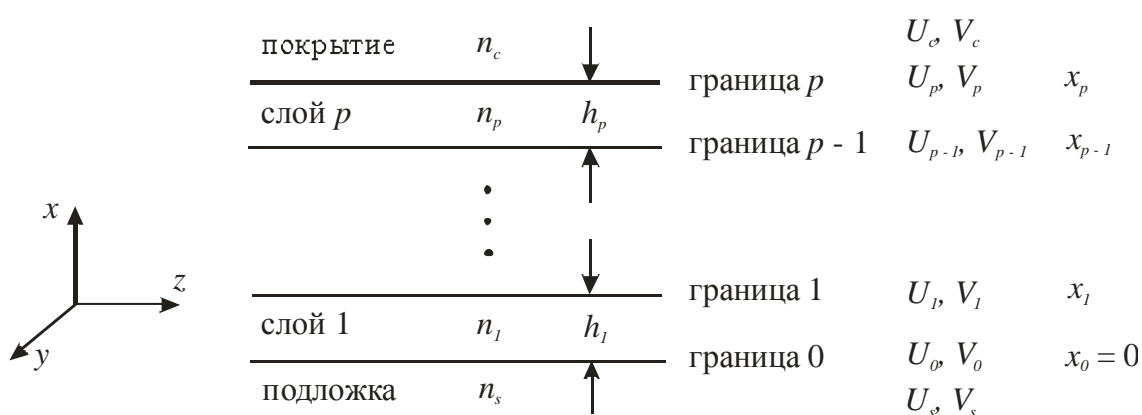


Рис. 6. Многослойный планарный оптический волновод

Эта структура может быть использована для аппроксимации показателя преломления планарного оптического волновода ступенчатой функцией, в предположении, что волновод формируется в линейной, свободной от источников, немагнитной среде без потерь. Свет распространяется вдоль положительного направления оси  $z$ .

Для упрощения анализа, поля с ТЕ- и ТМ-поляризациями рассматриваются отдельно. В случае ТЕ-поляризации, уравнения Максвелла приводят к следующим соотношениям [7]:

$$H_x = -\frac{\beta}{\omega\mu} E_y, \quad (14)$$

$$\frac{\partial E_y}{\partial x} = -j\omega\mu H_z, \quad (15)$$

$$\frac{\partial H_z}{\partial x} + j\beta H_x = -j\omega\epsilon_0 n^2 E_y. \quad (16)$$

При переходе к переменным  $U = E_y$  и  $V = \omega\mu H_z$ , уравнения (15), (16) запишутся как:

$$U' = -jV, \quad (17)$$

$$U'' + k^2U = 0, \quad (18)$$

где  $U' = \frac{\partial U}{\partial x}$ ,  $U'' = \frac{\partial^2 U}{\partial x^2}$ ,  $k^2 = k_0^2 n^2 - \beta^2$ ,  $k_0 = \frac{2\pi}{\lambda_0}$ . Общие решения уравнения (18) для одного слоя имеют форму:

$$U(x) = A \exp(-jkx) + B \exp(jkx), \quad (19)$$

$$V(x) = k[A \exp(-jkx) - B \exp(jkx)]. \quad (20)$$

Учитывая граничные условия, можно выразить  $U$  и  $V$  на  $i$ -й границе раздела слоев через  $U$  и  $V$  на  $(i - 1)$ -й границе раздела, используя характеристическую матрицу соответствующего слоя [7]:

$$\begin{bmatrix} U_i \\ V_i \end{bmatrix} = M_i \begin{bmatrix} U_{i-1} \\ V_{i-1} \end{bmatrix}, \quad (21)$$

где характеристическая матрица  $M_i$  задается следующим образом:

$$M_i = \begin{bmatrix} \cos(k_i h_i) & \frac{-j \sin(k_i h_i)}{k_i} \\ -jk_i \sin(k_i h_i) & \cos(k_i h_i) \end{bmatrix}. \quad (22)$$

Применяя уравнение (21) необходимое число раз, получим:

$$\begin{bmatrix} U_i \\ V_i \end{bmatrix} = \mathbf{M}_i \begin{bmatrix} U_0 \\ V_0 \end{bmatrix}, \quad (23)$$

где

$$\mathbf{M}_i = M_i \dots M_1 = \begin{bmatrix} m_{i1} & m_{i2} \\ m_{i21} & m_{i22} \end{bmatrix}. \quad (24)$$

Для подложки выражения (19), (20) могут быть записаны как:

$$U_s(x) = A_s \exp(\gamma_s x), \quad (25)$$



$$V_s = j\gamma_s A_s, \quad (26)$$

где  $\gamma_s^2 = \beta^2 - n_s^2 k_0^2$ . На границе раздела 0 получим:

$$U_0 = U_s(0) = A_s, \quad (27)$$

$$V_0 = V_s(0) = j\gamma_s A_s. \quad (28)$$

Значения  $U$  и  $V$  в произвольной точке  $x$  между  $x_i$  и  $x_{i+1}$  выражаются через  $U_0$  и  $V_0$  введением «виртуальной» границы раздела в точке  $x$ :

$$\begin{bmatrix} U(x) \\ V(x) \end{bmatrix}_{x_i \leq x \leq x_{i+1}} = \begin{bmatrix} \cos(k_{i+1}(x-x_i)) & \frac{-j \sin(k_{i+1}(x-x_i))}{k_{i+1}} \\ -jk_{i+1} \sin(k_{i+1}(x-x_i)) & \cos(k_i(x-x_i)) \end{bmatrix} \times \mathbf{M}_i \begin{bmatrix} U_0 \\ V_0 \end{bmatrix}, \quad (29)$$

что дает:

$$U(x)_{x_i \leq x \leq x_{i+1}} = f(x)_{x_i \leq x \leq x_{i+1}} A_s, \quad (30)$$

где

$$f(x)_{x_i \leq x \leq x_{i+1}} = (m_{i1} + j\gamma_s m_{i2}) \cos(k_{i+1}(x-x_i)) - \frac{j(m_{i21} + j\gamma_s m_{i22}) \sin(k_{i+1}(x-x_i))}{k_{i+1}}. \quad (31)$$

Значения  $U$  и  $V$  для покрытия могут быть получены аналогично:

$$U_c(x) = B_c \exp(-\gamma_c x), \quad (32)$$

$$V_c(x) = -j\gamma_c U_c, \quad (33)$$

где  $\gamma_c^2 = \beta^2 - n_c^2 k_0^2$ . Для границы  $p$  запишем:

$$\begin{bmatrix} U_p \\ V_p \end{bmatrix} = \begin{bmatrix} B_c \exp(-\gamma_c x_p) \\ -j\gamma_c B_c \exp(-\gamma_c x_p) \end{bmatrix} = \mathbf{M}_p \begin{bmatrix} U_0 \\ V_0 \end{bmatrix}, \quad (34)$$

что дает:

$$U_c(x) = g \exp(-\gamma_c x) A_s, \quad (35)$$

где

$$g = \frac{-j\gamma_c m_{p11} - \gamma_c \gamma_s m_{p12} - m_{p21} - jm_{p22} \gamma_s}{2j\gamma_c \exp(-\gamma_c x_p)}. \quad (36)$$

Из уравнения (34) получаем дисперсионное уравнение для ТЕ-мод:

$$j(\gamma_s m_{p22} + \gamma_c m_{p11}) = \gamma_s \gamma_c m_{p12} - m_{p21}. \quad (37)$$

Для определения коэффициента  $A_s$  воспользуемся условием нормировки средней по времени мощности на единицу длины в продольном направлении поперечного сечения волновода. Предполагается, что волновод возбуждается идеальным точечным источником, таким образом, все моды возбуждаются с равной мощностью. Запишем условие нормировки:

$$P_z = \frac{\beta}{2\omega\mu} \int_{-\infty}^{\infty} |E_y|^2 dx = 1, \quad (38)$$

или подробнее:

$$P_z = \frac{\beta}{2\omega\mu} A_s^2 \left[ \int_{-\infty}^{\infty} [\exp(\gamma_s x)]^2 dx + \sum_{k=1}^p \int_{x_{k-1}}^{x_k} [f_k(x)]^2 dx + \int_{x_p}^{\infty} [g \exp(-\gamma_c x)]^2 dx \right] = 1. \quad (39)$$

Таким образом,  $A_s$  может быть вычислено как:

$$A_s = \left[ \frac{2\omega\mu}{\beta} \left( \int_{-\infty}^0 [\exp(\gamma_s x)]^2 dx + \sum_{k=1}^p \int_{x_{k-1}}^{x_k} [f_k(x)]^2 dx + \int_{x_p}^{\infty} [g \exp(-\gamma_c x)]^2 dx \right)^{-1} \right]^{\frac{1}{2}}. \quad (40)$$

Для ТМ поляризованных мод переменные  $U$  и  $V$  определим как:

$$U = H_y, \quad (41)$$

$$V = \omega\epsilon_0 E_z, \quad (42)$$

что приводит к решению волнового уравнения в виде:

$$U(x) = A \exp(-jkx) + B \exp(jkx), \quad (43)$$

$$V(x) = -\frac{k}{n^2} [A \exp(-jkx) - B \exp(jkx)]. \quad (44)$$

Характеристическая матрица задается следующим образом:

$$M_i = \begin{bmatrix} \cos(k_i h_i) & \frac{j n_i^2 \sin(k_i h_i)}{k_i} \\ \frac{j k_i \sin(k_i h_i)}{n_i^2} & \cos(k_i h_i) \end{bmatrix}. \quad (45)$$

Для полей мод в подложке можно записать:

$$U_s(x) = A_s \exp(\gamma_s x), \quad (46)$$

$$V_s(x) = -\frac{j}{n_s^2} \gamma_s U_s = -\frac{j}{n_s^2} \gamma_s A_s \exp(\gamma_s x). \quad (47)$$

Аналогично случаю ТЕ-поляризации:

$$U(x)_{x_i \leq x \leq x_{i+1}} = f(x)_{x_i \leq x \leq x_{i+1}} A_s, \quad (48)$$

где

$$f(x)_{x_i \leq x \leq x_{i+1}} = \left( m_{i11} - j \frac{\gamma_s}{n_s^2} m_{i12} \right) \cos(k_{i+1} (x - x_i)) + \frac{n_{i+1}^2}{k_{i+1}} \left( j m_{i21} + \frac{\gamma_s}{n_s^2} m_{i22} \right) \sin(k_{i+1} (x - x_i)). \quad (49)$$

Поле в слое покрытия выражается как:

$$U_c(x) = g \exp(-\gamma_c x) A_s, \quad (50)$$

где

$$g = \left( m_{p11} - j \frac{\gamma_s}{n_s^2} m_{p12} \right) \exp(\gamma_c x_p). \quad (51)$$

Соответствующее уравнение дисперсии:

$$-j \left( \frac{m_{p22} \gamma_s}{n_s^2} + \frac{m_{p11} \gamma_c}{n_c^2} \right) = \frac{\gamma_s \gamma_c m_{p12}}{n_s^2 n_c^2} - m_{p21}. \quad (52)$$

Условие нормировки приводит к следующему выражению:

$$A_s = \left[ \frac{2\omega \epsilon_0}{\beta} \left( \int_{-\infty}^0 \left[ \frac{\exp(\gamma_s x)}{n_s} \right]^2 dx + \sum_{k=1}^p \int_{x_{k-1}}^{x_k} \left[ \frac{f_k(x)}{n_k} \right]^2 dx + \int_{x_p}^{\infty} \left[ \frac{g \exp(-\gamma_c x)}{n_c} \right]^2 dx \right)^{-1} \right]^{\frac{1}{2}}. \quad (53)$$

В многомодовом волноводе существует зависящий от  $z$  сдвиг фаз между модами, обусловленный модовой дисперсией. В результате, общее поле для многомодового оптического волновода задается суперпозицией полей всех направленных мод следующим образом:

$$E_{y_{общ}}(x, z) = \sum_{k=0}^{\max_{мода}} E_{y_k}(x) \exp(-j\beta_k z) \quad (54)$$

и

$$H_{y_{общ}}(x, z) = \sum_{k=0}^{\max_{мода}} H_{y_k}(x) \exp(-j\beta_k z) \quad (55)$$

для ТЕ и ТМ поляризованных мод соответственно.

Математическое моделирование термодиффузионного Ti:LiNbO<sub>3</sub> оптического волновода методом характеристической матрицы включает следующие шаги:

- аппроксимация коэффициента преломления обыкновенной и необыкновенной волн (1) ступенчатой функцией;
- составление математической модели полученного многослойного волновода на основе выражений (22) и (45);
- определение постоянных распространения ТЕ и ТМ поляризованных мод из трансцендентных дисперсионных уравнений (37), (52), соответственно.

Результаты расчета дисперсионных характеристик Ti:LiNbO<sub>3</sub> ИОВ ТЕ поляризованных мод для обыкновенной и необыкновенной волн приведены на рис. 7 и 8 соответственно.

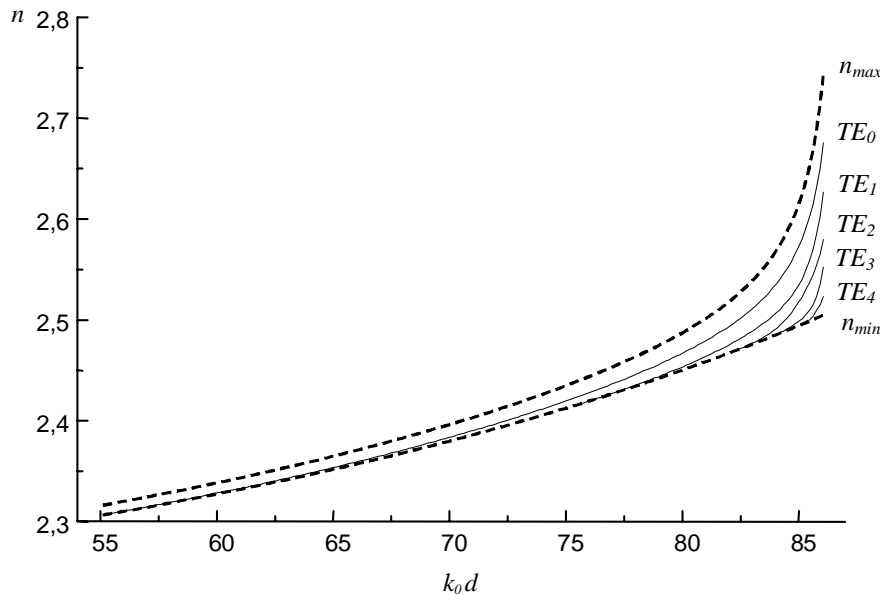


Рис. 7. Дисперсия ТЕ-мод для обыкновенной волны

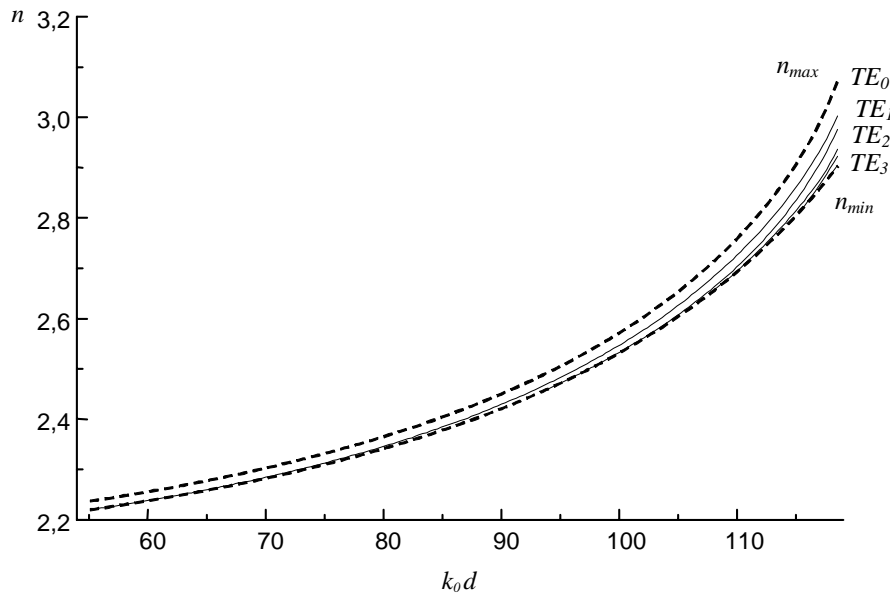


Рис. 8. Дисперсия ТЕ-мод для необыкновенной волны

## ВЫВОДЫ

Таким образом, проведено математическое моделирование интегрального оптического волновода с использованием метода характеристической матрицы. Определены дисперсионные характеристики термодиффузионного  $\text{Ti:LiNbO}_3$  оптического волновода в диапазоне длин волн 365–570 нм, с учетом частотной зависимости коэффициентов преломления материалов подложки и волноведущей области. Рассчитаны постоянные распространения волноводных мод и границы одномодового режима.

1. Lifeng Xiao, Ying Liu, Meng Tian, and Fan Geng. Research and Development on Integrated Optical AOTF // Proc. SPIE. — 2005, Jan. — Vol. 5644. — P. 452–458.

2. Волков В.А., Епихин Е.Н. Теоретические и экспериментальные исследования интегральных акустооптических приборов // Сб. науч.-техн. тр.: «Высокопроизводительные вычислительные системы и микропроцессоры». — Институт микропроцессорных вычислительных систем РАН — 2003. — № 5. — С. 68–80.

3. Strake, G.P. Bava and Montrosset I. Guided Modes of  $\text{Ti:LiNbO}_3$  Channel Waveguides. a Novel Quasi-Analytical Technique in Comparison with the Scalar Finite-Element Method Channel // J. Lightwave Techn. — 1988. — Vol. 6. — P. 1126–1135.

4. Hobden M.V. and Warner J. The Temperature Dependence of the Refractive Indices of Pure Lithium Niobate // Phys. Lett. — 1966. — Vol. 22. — P. 243–244.

5. *Fouchet S., Carenco A., Daguet C., Guglielmi R. and Riviere L.* Wavelength Dispersion of Ti Induced Refractive Index Change in LiNbO<sub>3</sub> as a Function of Diffusion Parameters // *J. Lightwave Techn.* — 1987. — Vol. 5. — P. 700–708.

6. *Koai K.T. and Liu P.L.* Modeling of Ti: LiNbO<sub>3</sub> Waveguide Devices: Part I-Directional Couplers // *J. Lightwave Techn.* — 1989. — Vol. 7. — P. 533–539.

7. *Uranus H.P. and Tjia M.O.* Determination of Mode Field Profile and its Evolution in Planar Waveguides with Arbitrary Refractive Index Profile Using Characteristic Matrix Method // *Proc. Int. Conf. on Electrical, Electronics, Communications, and Information (CECI 2001)*. — Jakarta. — 2001, March 7–8. — P. CO-40–CO-44.

Поступила в редакцию 03.08.2005